

文章编号:1001-5078(2007)06-0506-02

# LD 泵浦 Nd:YVO<sub>4</sub>/BIBO 腔内倍频 457nm 蓝光激光器

吕彦飞, 张喜和, 姚治海, 李昌立, 卢俊  
(长春理工大学理学院, 吉林 长春 130022)

**摘要:**用国产半导体激光二极管泵浦 Nd:YVO<sub>4</sub> 晶体, 在室温下获得 914nm 激光连续输出, 用 I 类临界位相匹配 BIBO 腔内倍频获得 457nm 蓝光激光输出, 当注入泵浦功率为 1.4W 时, 蓝光最大输出为 48mW, 光光转化效率为 3.4%, 功率稳定度 24h 内优于 ±2.8%。

**关键词:**激光二极管泵浦; Nd:YVO<sub>4</sub> 晶体; BIBO 倍频; 蓝光激光

**中图分类号:** TN248.1      **文献标识码:**A

## Laser-diode Pumped Nd:YVO<sub>4</sub>/BIBO 457nm Blue Laser by Intracavity Doubling

LÜ Yan-fei, ZHANG Xin-he, YAO Zhi-hai, LI Chang-li, LU Jun  
(Changchun University of Sciences and Technology, Changchun 130022, China)

**Abstract:** An optimized designed CW 914nm laser at room temperature is obtained. Using type-I critical-matching BI-BO crystal, 457nm blue laser is obtained by 914nm intracavity frequency doubling. The maximum laser output power of 48mW is obtained when a incident pump laser of 1.4W is used. The optical-to-optical conversion up to 3.4%, the power instability in 24h is better than ±2.8%.

**Key words:** LD-pumped; Nd:YVO<sub>4</sub> crystal; BIBO frequency-doubling; blue-laser

### 1 引言

近年来, LD 泵浦的全固态激光器已取得了长足的进步, 尤其是利用倍频技术产生蓝光激光器<sup>[1-6]</sup>, 一直是国际上研究的热点, 实现 LD 泵浦的全固态蓝色激光器主要是采用 LD 泵浦 Nd:YAG 或 Nd:YVO<sub>4</sub> 晶体实现 946nm 或 914nm 波长的运转, 再通过倍频晶体输出 473nm 或 457nm 的蓝光激光。目前在该领域的研究主要是 473nm 的蓝光激光, 457nm 同 473nm 蓝光相比具有颜色更饱满、波长更短、光子能量更大、光点面积更小等优点, 使其在高密度数据存储、激光彩色显示、水下通讯、海洋资源探测和光量子学分析上有着更为广阔的应用前景。由于 Nd:YAG(946nm) 和 Nd:YVO<sub>4</sub>(914nm) 获得蓝光激光的能级跃迁都是准三能级, Nd:YVO<sub>4</sub> 的激光下能级粒子数比 Nd:YAG 占能级粒子总数比例更大, 导致激光阈值更高, 使得 Nd:YVO<sub>4</sub> 的准三能级系统实现起来更为困难, 但由于 Nd:YVO<sub>4</sub>(914nm) 与 Nd:YAG(946nm) 相比, Nd:YVO<sub>4</sub> 发射截面和热导率更大, 吸收带更宽<sup>[7]</sup>, 所以利用 Nd:YVO<sub>4</sub> 实现 457nm 蓝光激光也有一定的优点。

本文利用 Nd:YVO<sub>4</sub> 晶体的<sup>4</sup>F<sub>3/2</sub>-<sup>4</sup>I<sub>9/2</sub> 跃迁获得

914nm 激光, 在利用 BIBO 晶体 I 类临界相位匹配倍频获得 457nm 连续波蓝光输出。

### 2 实验装置

实验装置如图 1 所示, 泵浦源是最大输出功率为 2W 的 LD, 通过调节 LD 制冷器(TEC1)的电流, 使泵浦光中心波长与 Nd:YVO<sub>4</sub> 的中心吸收波长 808.9nm 重合, 经过准直、扩束、聚焦, 最终成为椭圆度为 0.88、束腰半径约为 90μm 的泵浦光斑, 入射到 Nd:YVO<sub>4</sub> 晶体中。由于 Nd:YVO<sub>4</sub> 晶体的基波场矢量平行于晶体光轴方向的 π 偏振和 σ 偏振的光谱特性具有明显的差异, 其最强发射和最强吸收都发生在 π 偏振取向, 因此在实验中我们采用 a 轴切割晶体获得 π 偏光输出, 钕离子掺杂浓度为 0.5%, 通光长度为 2mm, 其左端镀 808nm 增透膜和 914nm 高反膜作为一个腔镜, 右端对 914nm 增透, 侧面裹上一层铟箔安装在紫铜热沉上, 通过半导体制冷器

**基金项目:** 国家“863”高科技计划资助项目(No. 2002AA311140)。

**作者简介:** 吕彦飞(1976-), 男, 博士, 主要从事光学设计, 半导体激光泵浦全固态激光器及非线性光学频率变换技术等的研究, 现在长春理工大学从事科研与教学工作。E-mail: custlaser@163.com

收稿日期:2006-11-21

(TEC2) 进行温度控制。曲率半径为 50mm 的平凹镜作为输出镜, 凹面镀 1064nm 增透膜、914nm 高反膜和 457nm 增透膜, 平面对 457nm 增透, 倍频晶体采用 I 类临界相位匹配 BIBO, 尺寸为 2mm × 2mm × 7mm, 两端面镀 914nm/457nm 双色增透膜。腔长约为 20mm, 机械结构稳定、抗震动。对 LD、Nd:YVO<sub>4</sub> 利 BIBO 用半导体制冷器 (TEC2) 进行严格的温控, 温度精度为 ±0.02℃。

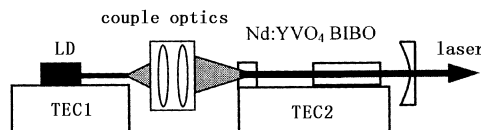


图 1 457nm 激光器实验装置

Fig. 1 the setup of 457nm blue laser

### 3 倍频晶体的选择

当腔内基频光斑半径取 100μm 时, 对 BIBO 和 LBO 的两种倍频晶体临界相位匹配的主要参数如表 1 所示。

表 1 不同非线性晶体临界相位  
匹配倍频的主要参数

Tab. 1 the parameters of critical phase-matching frequency-doubling of different crystals

晶体 参数	BIBO( I )	BIBO( II )	LBO( I )	LBO( II )
转换方式 /mm	914(o) + 914(o) - 457(e)	914(o) + 914(e) - 457(o)	914(o) + 914(o) - 457(e)	914(o) + 914(e) - 457(o)
走离角 ρ/mrad	87.8	74.1	12.48	9.32
有效非线性系数 $d_{\text{eff}}/\text{pm} \cdot \text{V}$	2.46	0.48	0.803	0.505
相位匹配角 ( $\theta, \varphi$ )	(45.4°, 0°)	(63.4°, 0°)	(90°, 21.7°)	(43°, 90°)
允许角/(mrad · cm)	0.57	0.99	4.56	6.60

从表 1 中可以看出 BIBO 比 LBO 的有效非线性系数  $d_{\text{eff}}$  大, BIBO 比 LBO 的走离角大。由式(1)<sup>[8]</sup> 可知, 当谐振腔结构和倍频晶体一定时, 激光器的倍频效率  $\eta$  与有效非线性系数  $d_{\text{eff}}$  和非线性倍频晶体长度  $l$  的乘积的平方成正比。

$$\eta = \frac{p^{2\omega}}{p^\omega} = \frac{52.2l^2 \cdot d_{\text{eff}}^2 \cdot p^\omega}{n^3 \cdot \lambda^2 \cdot C \cdot A} \cdot \text{sinc}^2(\Delta k \cdot l/2) \quad (1)$$

其中,  $p^{2\omega}$  为倍频光输出功率;  $p^\omega$  为基频光输出功率;  $d_{\text{eff}}$  为倍频晶体的有效非线性系数;  $\lambda$  为真空中基频波的波长;  $C$  为真空中的光速;  $A$  为基横模面积;  $\Delta k$  为相位失配因子。

在表 1 中可以看出 BIBO I 类临界相位匹配时有效非线性系数最大, 虽然 BIBO 比 LBO 的走离角大, 影响了晶体的作用长度, 但在中小功率的条件下, 由于非线性晶体在腔内吸收损耗, 一般晶体不能取得很长, 所以在实验中我们选择 BIBO I 类临界相位匹配更有利于提高倍频效率。同时在表 1 中也可以看出 BIBO 的允许角较小, 所以给实验调试带来一些困难, 这是 BIBO 相对 LBO 的缺点。

### 4 实验结果

采用 LBO 晶体进行内腔倍频, 用滤光片滤去 808nm 泵浦光和 914nm 基频光的干扰, 测量了 457nm 蓝光激光输出功率随泵浦功率的变化。

图 2 给出了 457nm 蓝光输出功率随注入泵浦功率的函数曲线。从图 2 中可以看出, 激光器的阈值功率约为 0.23W。在注入泵浦功率为 1.4W 时, 测得 457nm 蓝光激光的功率为 48mW。并且可以看出在该泵浦功率下, 激光输出功率并未达到饱和, 这就说明如果泵浦功率进一步加大, 激光的输出功率仍会增加。

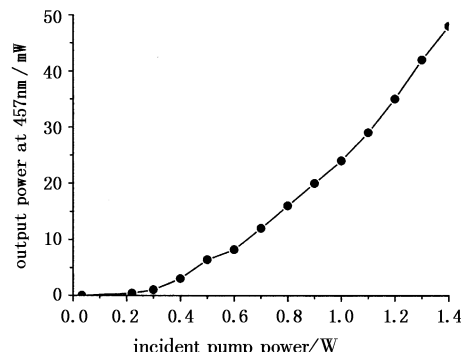


图 2 457nm 激光输出功率随注入抽运光功率变换

Fig. 2 457nm output power via incident pump power

### 5 结论

研究了采用 2W 的 LD 抽运 Nd:YVO<sub>4</sub> 晶体, 采用 BIBO I 类临界相位匹配腔内倍频, 获得了 48mW 的 457nm 连续波蓝光激光输出, 光光转换效率为 3.4%, 功率稳定性 24h 内优于 ±2.8%。实验结果表明采用 LD 抽运 Nd:YVO<sub>4</sub>, 通过 BIBO 腔内倍频是获得 457nm 蓝光激光一种高效的方法, 因此, LD 抽运 Nd:YVO<sub>4</sub> 的腔内倍频技术, 为实现大功率全固态连续蓝光激光器的发展提供了一个新的方向。

### 参考文献:

- [1] Z Quan, Z Ling. Efficient blue laser generation at 473nm by a BIBO crystal [J]. Optics & Laser Technology, 2004, 36(6): 449–451.
- [2] M Pierrou, T Keller. Generation of 740mW of blue light by intra-cavity frequency doubling with a first-order quasi-phase-matched KTiOPO<sub>4</sub> crystal [J]. Opt. Lett., 1999, 24(4): 205–207.
- [3] 高兰兰, 檀慧明. 利用复合 Nd:YAG 实现 600mW 高效紧凑型蓝光激光器 [J]. 光子学报, 2004, 33(1): 8–10.
- [4] 郑权, 赵岭, 钱龙生. LD 泵浦 Nd:YAG/LBO 蓝光激光器的低噪声运转 [J]. 光子学报, 2003, 32(11): 1291–1293.
- [5] 卜轶坤, 陈颖新, 郑权, 等. LD 泵浦 Nd:YVO<sub>4</sub> 晶体 LBO 倍频 457nm 蓝光激光器 [J]. 光子学报, 2005, 34(3): 336–339.
- [6] 刘伟仁, 霍玉晶, 何淑芳. 激光二极管抽运的全固体 457nm 深蓝激光器 [J]. 光学学报, 2002, 22(8): 980–982.
- [7] W 克希耐尔. 固体激光工程 [M]. 孙文, 等译. 北京: 科学出版社, 2002: 40–55.
- [8] 姚建铨. 非线性光学频率变换及激光调谐技术 [M]. 北京: 科学出版社, 1995: 72.